



مجله علوم و تکنولوژی پلیمر،

سال بیست و یکم، شماره ۱،

صفحه ۴۳-۵۳، ۱۴۸۷

ISSN : 1016-3255

تهیه پلی اتیلن ایمید از پلی اتیلن سنگین و بررسی خواص فیزیکی آن

محمد علی سمسارزاده*

تهران، دانشگاه تربیت مدرس، دانشکده فنی مهندسی، گروه مهندسی پلیمر، صندوق پستی ۱۴۱۱۵/۱۴۳

دریافت: ۸۶/۲/۱۱، پذیرش: ۸۶/۹/۱۰

چکیده

پلی اتیلن ایمیدها به دلیل خواص فیزیکی و مکانیکی مناسب از نظر مهندسی اهمیت بسیار زیادی یافته‌اند. یکی از راه‌های اقتصادی ساخت پلی اتیلن ایمید از پلی اتیلن است. در این پژوهش، پلی اتیلن سنگین پیوند خورده با مالئیک انیدرید و -۴۱ دی آمین بوتان در زایلن جوشان با هم واکنش داده شدند. از واکنش انیدرید و دی آمین ابتدا آمید و کربوکسیلیک اسید حاصل شد. سپس، در اثر گرمای و در مجاورت کاتالیزور اسیدی حلقه ایمیدی تشکیل شد. به کمک طیف سنجی تبدیل فوریه زیر قرمز مخصوص مراحل مختلف واکنش و تشکیل حلقه بررسی شد. شرایط و عوامل مختلف واکنش شامل دما، زمان و غلظت مونومر آمین به منظور بررسی پیشرفت واکنش و مقدار ژل در دمای جوش زایلن مورد توجه قرار گرفت. بررسی‌ها نشان داد که زمان حدود ۱۰ h و غلظت حدود ۹ برابر دی آمین شرایط بهینه واکنش است. پایداری و خواص گرمایی و رئولوژیکی پلی اتیلن اولیه، پلی اتیلن پیوند خورده با مالئیک انیدرید و پلی اتیلن پیوند خورده با ایمید به کمک آزمون‌های تجزیه گرماآزنی، گرماسنجی پویشی تفاضلی و رئومتری اندازه‌گیری شد. همچنین، خواص فیزیکی پلی اتیلن ایمید نیز مورد بررسی قرار گرفت. نتایج نشان می‌دهد که پلی اتیلن پیوند خورده با مالئیک انیدرید و پلی اتیلن پیوند خورده با ایمید خواص بهتری دارند.

واژه‌های کلیدی

پلی اتیلن ایمید،
مالئیک انیدرید، دی آمین،
مقدار ژل، تیترکردن

*مسئول مکاتبات، پیام‌نگار:

semsarzadeh@modares.ac.ir

Study on the Synthesis and Physical Properties of Polyethylene Imide Derived from HDPE

M.A. Semsarzadeh*, M. Tavakoli and V. Pourkhor Abi

Polymer Engineering Grpoup, Faculty of Engineering, Tarbiat Modares University,

P.O. Box: 14115/143, Tehran, Iran

Received 1 May 2007; accepted 1 December 2007

Abstract

Polyethylene imide was synthesized from the reaction of high density polyethylene grafted maleic anhydride (PE-g-MA) and 1,4-diaminobutane in boiling xylene. The chemical compositions of the reaction products were examined by Fourier transform infrared spectroscopy. Different conditions and parameters like the effect of temperature, time, monomer concentration and oxygen on the extent of reaction and gel content were studied and the best conditions of the reaction were determined. Thermal analysis using differential scanning calorimetry and thermogravimetry analysis was carried out to determine thermal stabilities and properties of the reaction products. Rheometry experiments were also performed to determine the rheological properties. The results show that PE-g-MA and PE-g-imide have better properties.

Key Words

polyethylene imide,
maleic anhydride, diamine,
gel content, titration.

(*) To whom correspondence should be addressed.

E-mail: semsarzadeh@modares.ac.ir

کلی این واکنش‌ها منجر به ایجاد اتصالات عرضی بین زنجیرهای

پلی اتیلن می‌شوند [۱].

پلی اتیلن عامل دار شده از راه فرایند در حالت محلول و مذاب قابل تولید است. فرایند حالت مذاب، اکستروژن واکنشی نامیده می‌شود که پلیمر مذاب در اکسترودر با مونومر و آغازگر در دماهای زیاد مخلوط می‌شود. در فرایند محلول، پلیمر در حالی مناسب در دمای زیاد حل می‌شود و مونومر و آغازگر نیز به محلول اضافه می‌شوند.

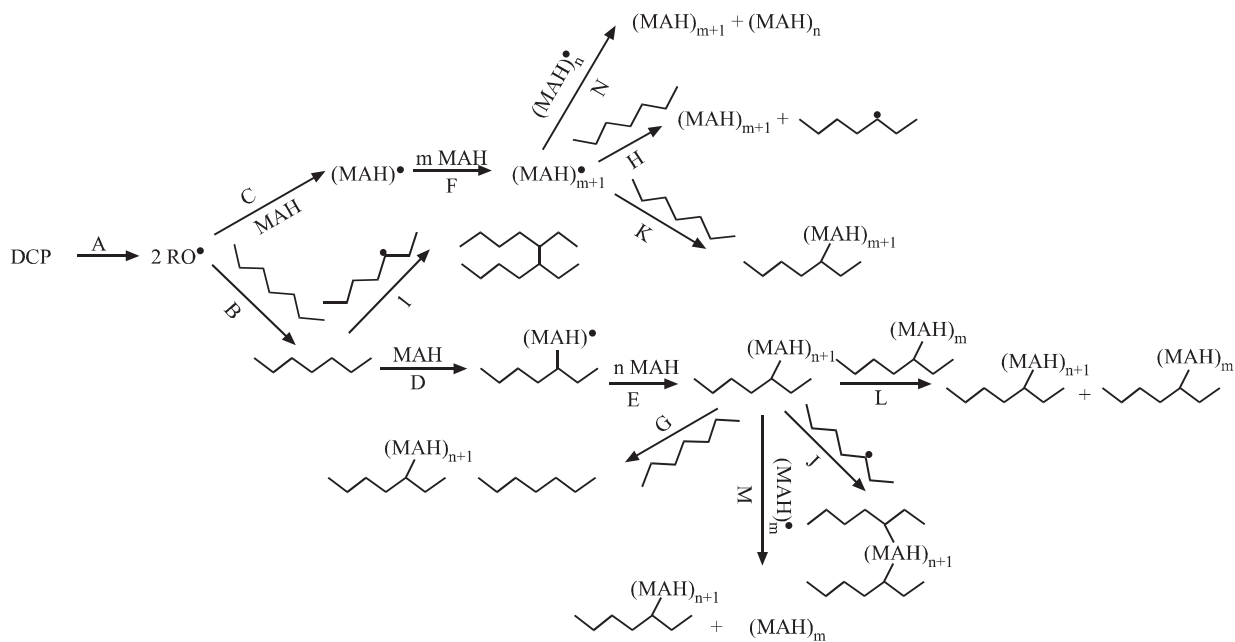
شکل ۱ نمای کلی ساز و کار پیوندزنی مالئیک انیدرید روی پلی اتیلن را با استفاده از آغازگر دی‌کومیل پروکسید نشان می‌دهد.

در این فرایند رادیکال‌های اولیه حاصل از تجزیه شروع کننده (RO[•]) یک هیدروژن از زنجیر اصلی پلی‌اولفین جذب می‌کنند و مرکز فعل رادیکالی به روی زنجیر اصلی منتقل می‌شود. بدین ترتیب، زنجیر پلیمر به یک درشت رادیکال تبدیل می‌شود که یک واکشن مطلوب است. علاوه بر این، رادیکال‌های اولیه ممکن است در هموپلیمرشدن، موجب واکنش‌های جانبی و نامطلوبی شوند که اولیگومرها تولید شده از آن اتصال زیادی با زنجیر پلیمر ندارد. درشت رادیکال‌های تشکیل شده ناشی از جذب هیدروژن از زنجیر پلیمر به وسیله رادیکال‌های اولیه می‌توانند در واکنش‌های شاخه‌ای شدن، شبکه‌ای شدن و پیوندزنی مونومر شرکت کنند. درشت رادیکال‌های ایجاد شده روی زنجیر پلی اتیلن تمایل زیادی به شرکت در واکنش‌های شاخه‌ای شدن و شبکه‌ای شدن دارند، در حالی که درشت رادیکال‌های ایجاد شده روی زنجیر پلی‌پروپیلن تمایل زیادی به شرکت در واکنش شکست زنجیر دارند [۱].

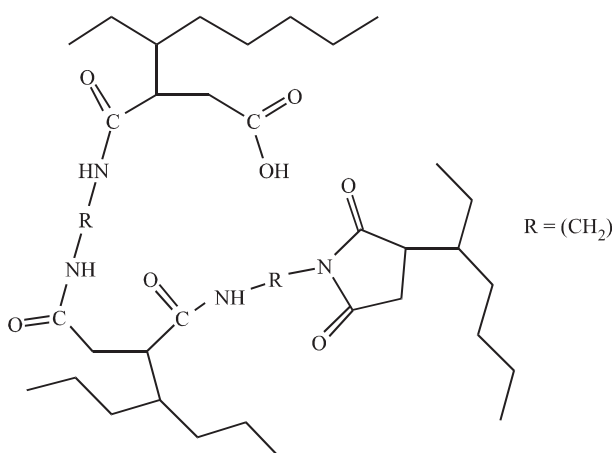
مقدمه

پلی ایمیدها اولین بار در سال ۱۹۰۸ میلادی کشف و سنتز شدند و در اوایل دهه ۱۹۶۰ اولین تولید صنعتی آنها به بازار عرضه شد. این پلیمرها همواره به دلیل خواص ویژه و منحصر به فرد و مقاومت گرمایی مورد توجه بوده‌اند، به همین دلیل در صنایع مختلف مانند هوافضا، الکترونیک و میکروالکترونیک، همچنین در لباس‌های مقاوم در برابر آتش و قطعات اتومبیل مصرف گسترده‌ای دارند. تا کنون متداول ترین روش تهیه پلی ایمیدها واکنش پلیمرشدن تراکمی دی‌انیدرید با دی‌آمین بوده است و این واکنش در حالت مذاب یا در حلال انجام می‌شود. دی‌آمین مورد استفاده می‌تواند آروماتیک یا آلیفاتیک باشد.

امروزه پلی اتیلن یکی از پرکاربردترین و مهم‌ترین پلیمر موجود است. اگرچه می‌توان انواع مختلفی از آن را با محدوده وسیعی از چگالی و گرانزوی تولید کرد، اما به علت برخی مسائل کاربرد آن محدود است. یکی از این معایب، ماهیت غیرقطبی پلی اتیلن است که موجب رنگ‌پذیری و چاپ‌پذیری ضعیف و همچنین چسبندگی کم آن با سایر پلیمرهای قطبی در آمیزه‌ها می‌شود. برای رفع این مشکلات با اتیلن و مونومرهای قطبی کوپلیمر آن تولید می‌شود، یا پلی اتیلن به کمک واکنش پیوندزنی رادیکال آزاد مولکول‌های قطبی سیرنشاده روی زنجیر اصلی با آغازگرهای پروکسیدی، اصلاح می‌شود. یکی از این اصلاح کننده‌ها، مالئیک انیدرید است. در این مورد انتظار می‌رود که ساختار مولکولی پلی اتیلن در اثر این اصلاحات تغییر نکند، اما به طور



شکل ۱- ساز و کار پیوندزنی مالئیک انیدرید روی پلی اتیلن [۲].



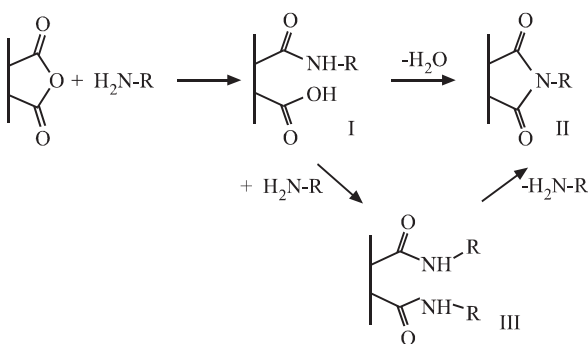
شکل ۳- ساختار ژل برای زنجیرهای PE-g-MA پس از واکنش با دی آمین [۴]

این ماده با دی آمین آلیاتیک (۱،۴-دی آمینو بوتان) واکنش داده شد و در نهایت پلی اتیلن ایمید با گروههای سوکسینیمید سنتز شد. این گروهها در شکل ۵ نشان داده شده‌اند. محصولات مراحل مختلف واکنش به کمک FTIR شناسایی شد. سپس، خواص پلی اتیلن سنگین، پلی اتیلن پیوند خورده با مالئیک اندیرید و پلی اتیلن ایمید اندازه گیری و با هم مقایسه شد. حین سنتز اثر عوامل مختلف روی مقدار پیشرفت واکنش و محصول مطلوب نیز بررسی شد.

تجربی

مواد

در این پژوهش، از پلی اتیلن سنگین (HDPE) محصول پتروشیمی تبریز (MFI = ۱۷-۱۹ g/10min و $T_m = 131/72^\circ\text{C}$)، پلی اتیلن سنگین



شکل ۴- واکنش‌های محتمل بین اندیرید و آمین نوع اول [۶,۷]

پلی اولفین‌های عامل‌دار شده اغلب به عنوان عامل چسبندگی در فیلم‌های چندلایه به همراه PET و PA در صنایع بسته‌بندی، سازگارکننده در آمیزه‌های پلی اولفین با پلیمرهای قطبی‌تر مثل پلی استرها و پلی آمیدها و عامل پوشش برای فلزات استفاده می‌شوند. وجود گروه قطبی روی پلی اتیلن چسبندگی این مواد را افزایش می‌دهد. این پلی اولفین‌ها در تولید کامپوزیت‌هایی مانند پلی اتیلن سلولوز نیز اهمیت یافته‌اند. گاهی از یک دی آمین برای ایجاد اتصالات عرضی بین زنجیرها استفاده می‌شود.

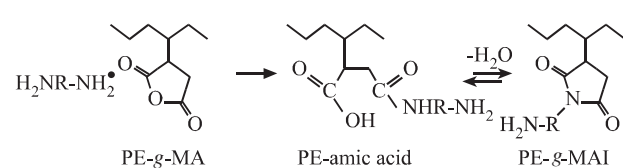
شکل ۲ ساز و کار اصلاح شیمیایی پلی اتیلن پیوند خورده با مالئیک اندیرید (PE-g-MA) را با دی آمین‌ها نشان می‌دهد. یک گروه آمینی از مولکول دی آمین، پس از واکنش با HDPE، آزاد می‌ماند تا با سایر پلیمرها یا پرکننده‌ها برهم کنش داشته باشد. اما، اگر واکنش پذیری این گروه آمینی به اندازه کافی زیاد باشد، این گروه نیز می‌تواند با گروه MA دیگری واکنش دهد و منجر به تشکیل شاخه‌های بلند یا اتصالات عرضی شود [۳].

در شکل ۳ ساختار ژل پیشنهادی برای زنجیرهای PE-g-MA پس از واکنش با دی آمین نشان داده شده است.

نتایج آزمایش‌ها نشان می‌دهد که آمین‌های نوع اول نسبت به آمین‌های نوع دوم و سوم در مقابل گروههای اسیدی و اندیریدی واکنش پذیرتر هستند. همچنین، گروههای اندیریدی روی پلیمر نسبت به گروههای کربوکسیلیک اسید واکنش پذیری بیشتری برای واکنش با آمین‌های نوع اول و دوم دارند. ساز و کار واکنش بین اندیرید و آمین که منجر به تشکیل آمید و اسید می‌شود، از نوع جانشینی هسته دوستی آسیل است [۵].

واکنش‌های محتمل که بین اندیرید و آمین نوع اول می‌تواند رخ دهد در شکل ۴ نشان داده شده است. این واکنش‌ها به شدت وابسته به دما هستند. مشاهده شد که کسر مولی تشکیل جزء III کوچک و قابل صرف نظر کردن است. همچنین، واکنش تشکیل جزء I برگشت پذیر است [۶,۷].

در این پژوهش، ابتدا از واکنش مالئیک اندیرید با پلی اتیلن سنگین، گروه سوکسینیک اندیرید روی زنجیرهای پلی اتیلن قرار داده شد. سپس



شکل ۲- ساز و کار واکنش PE-g-MA با دی آمین [۴].

یک بالن حاوی ۲۰۰ mL زایلن جوشان (دما ۱۳۵°C) در شرایط تقطیر بازگشتی حل شد و واکنش ۹۰ min ادامه یافت. سپس، محصول در استون رسوب داده و با استون اضافی شسته شد. بعد از آن نمونه‌ها خالص سازی شدند و درجه پیوندزنی آنها با تیتر کردن معین شد. همین مراحل برای دو مقدار اولیه دیگر یعنی ۰/۸ و ۰/۶ g دی‌کومیل پروکسید تکرار شد.

تهیه پلی اتیلن پیوند خورده با گروه‌های آمیدی

در بالن با همان تجهیزات قبلی ۲ g پلی اتیلن مالئیک دار شده در ۱۰۰ mL زایلن جوشان حل شد. پس از این که محلول در همان دما به مدت ۱۵ h در جو نیتروژن گرمایش داده شد، ترکیب ۴-۴'-دی‌آمینو بوتان با نسبت استوکیومتری مشخص (نسبت استوکیومتری برابر است با تعداد عوامل آمینی به کار برده شده با یک عامل اندیرید) به آن اضافه و پس از ۱۰ h واکنش، محصول در استون رسوب داده و شسته شد و پس از آن به مدت ۱۰ h در گرم خانه خلاء در دما ۶۰°C خشک شد.

تهیه پلی اتیلن پیوند خورده با گروه‌های ایمیدی

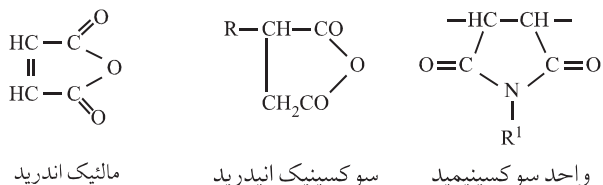
محصول واکنش مرحله قبل در همان بالن در ۱۰۰ mL زایلن جوشان حل شد و کاتالیزور اسیدی پاراتولوئن سولفونیک اسید به آن اضافه شد. پس از ۵ h واکنش، محصول در استون رسوب داده شد.

تعیین مقدار پیوندزنی

مقدار مالئیک اندیرید در HDPE-g-MA و همچنین مقدار تبدیل آن به گروه‌های ایمیدی با تیتر کردن گروه‌های اسیدی پس از آبکافت کامل گروه‌های اندیریدی معین شدند. ۱ g از نمونه مورد نظر در همان بالن ذکر شده حاوی زایلن جوشان حل شد، پس از این که محلول شفاف به دست آمد، دمای محلول تا ۱۰۰°C کاهش یافت و ۰/۵ mL آب م قطر به محلول اضافه شد و تقطیر بازگشتی ۱ h ادامه یافت. سپس، دمای محلول تا ۹۰-۸۰°C پایین آورده شد و با محلول KOH در اتانول در مجاورت سه تا چهار قطره معرف ۱ درصد تیمول آبی در دی‌متیل فرمامید تیتر شد تا رنگ معرف آبی تیره ثابت ماند. مقدار مالئیک اندیرید پیوندی در نمونه HDPE-g-MA و مقدار باقی مانده آن پس از واکنش با دی‌آمین به کمک معادله‌های زیر محاسبه شد:

$$A.N = \frac{V(\text{mL}) \times N \times 56.1}{W(\text{g})} \quad (1)$$

$$\text{MA (wt\%)} = \frac{A.N \times 98}{2 \times 56.1} \quad (2)$$



شکل ۵- ساختار گروه‌های مالئیک اندیرید، سوکسینیک اندیرید و سوکسینیک اندیرید [۸].

پیوند خورده با مالئیک اندیرید (HDPE-g-MA) از شرکت کیمیا جاوید (T_m = ۱۳۰°C) و درجه پیوند ۷/۵٪، دی‌آمینو بوتان، حلال زایلن، مالئیک اندیرید، کاتالیزور پاراتولوئن سولفونیک اسید محصول شرکت Fluka، آغازگر دی‌کومیل پروکسید (DCP) محصول شرکت Merck، استون برای شست و شو، اتانول و پتاسیم هیدروکسید برای تهیه محلول استاندارد، حلال دی‌متیل فرمامید و معرف تیمول آبی برای تیتر کردن محصول شرکت Merck استفاده شد.

دستگاه‌ها

علاوه بر تجهیزاتی که برای سنتز و تیتر کردن به کار رفته‌اند، سایر دستگاه‌هایی که برای شناسایی مواد استفاده شدند عبارتند از:

طیف سنج تبدیل فوریه زیرقرمز FTS-7-BIO-ROAD، گرامسنج پویشی تفاضلی مدل PL DSC LTI-07 با سرعت گرمادهی و سرماشی برابر ۱۰°C/min و حداقل دمای ۳۵۰°C، دستگاه تجزیه گرمایشی (TGA) مدل PL STA 1500 با محدوده دمایی آزمایش برای نمونه‌ها از دمای محیط تا دمای ۶۵۰°C و سرعت گرمادهی ۱۰°C/min زیر جو آرگون، رئومتر مدل Paar Physica UDS 200 آزمون برش نوسانی در دمای ۲۳۰°C با هندسه صفحات موازی و قطر دیسک‌ها برابر ۲۵ mm، فاصله بین دو صفحه ۱ mm، کرنش ۱ درصد و بسامد ۰/۰۵ mm تا ۰/۵۰ s^{-۱}.

روش‌ها

خالص سازی نمونه‌ها

۱ g پلی اتیلن مالئیک دار شده در ۱۰۰ mL زایلن جوشان حل شد و پس از ۴ h تقطیر بازگشتی با سه برابر استون رسوب داده شد، سپس نمونه پلی اتیلن مالئیک دار شده و رسوب داده شده، با استون اضافی شسته و در گرم خانه خلاء برای ۲ h در دمای ۸۰°C خشک شد. با این مراحل مالئیک اندیرید غیرپیوندی از HDPE-g-MA جدا می‌شود.

تهیه پلی اتیلن مالئیک دار شده (HDPE-g-MA)

۶ g پلی اتیلن سنگین، ۳ g مالئیک اندیرید و ۰/۴ g دی‌کومیل پروکسید در

که A.N عدد اسیدی، V حجم محلول KOH مصرفی، N نرمالیته محلول KOH و W وزن پلیمر است.

تعیین مقدار ژل

مقدار ژل طبق استاندارد ASTM D 238 معین شد. بدین ترتیب که نمونه در صافی استیل با مش ۱۲۰ قرار داده شد. وزن دقیق نمونه (W_1) و وزن نمونه به همراه صافی استیل (W_2) اندازه گیری شد. پس از این که صافی استیل و نمونه h در زایلن جوشان غوطه ور شدند، در گرم خانه قرار داده شدند تا حلال کاملاً خارج شود. صافی و نمونه پس از خشک شدن کامل نمونه توزین شدند (W_3). مقدار ژل از معادله (۳) به دست آمد [۱]:

$$\%Gel = 100 - \{(W_2 - W_3) / W_1\} \times 100 \quad (3)$$

نتایج و بحث

اثر عوامل مختلف بر پیشرفت واکنش پلی‌اتیلن پیوند خورده با مالیک اندیردی و دی‌آمین

سه آزمایش با مقادیر مختلف آغازگر انجام شد. درصد پیوندزنی حاصل از هر یک طبق جدول ۱ است. با افزایش مقدار آغازگر مقدار پیوندزنی نیز افزایش یافته است. از این نمونه‌ها در مراحل بعدی استفاده شد.

در بررسی اثر زمان مشخص شد که سرعت کاهش غلظت گروه اندیردی در مراحل اولیه واکنش بیشتر است. این پدیده به دو علت است. اول این که در ابتدای واکنش غلظت مواد اولیه واکنش گر (اندیردی و آمین) زیاد است و علت دوم این است که با پیشرفت واکنش حلقه اندیردی باز می‌شود و با کاهش اندیردی‌ها غلظت گروه‌های اسیدی بیشتر و واکنش پذیری گروه اسیدی کمتر از اندیردی می‌شود.

مراحله بعدی واکنش، تشکیل حلقه ایمید است. تشکیل حلقه از راه حذف و خروج مولکول آب از گروه‌های آمید-اسید مناسب تراز حذف دی‌آمین است. پس این مرحله واکنش تا جایی که تمام حلقه‌های

جدول ۱- نمونه‌های HDPE-g-MA تولید شده.

میزان پیوندزنی (%)	مقدار (g) DCP
۰/۵	۰/۴
۱/۰	۰/۸
۱/۳	۱/۶

جدول ۲- اثر زمان بر مقدار پیشرفت واکنش.

[COOH] ^(۱) (۱۰ ^{-۴} mol)	زمان واکنش (h)
۲/۱	۰
۲/۳	۳
۱/۹	۶
۱/۷۵	۸
۱/۷	۱۰
۱/۶	۱۵

[COOH]: مقدار گروه‌های کربوکسیلیک اسید باقی مانده (بر حسب مول) در یک گرم نمونه.

انیدریدی باز شده و تبدیل به گروه‌های آمید-اسید شوند، ادامه می‌یابد. زمان ۱۰ h که برابر تبدیل ۴۵ درصد است، برای انجام مرحله آمیدی شدن مناسب به نظر می‌رسد (طیف FTIR نیز این مطلب را تأیید می‌کند). نتایج در جدول ۲ آمده است.

برای بررسی اثر دما چند مرتبه واکنش در دماهای مختلف تکرار شد. مقدار گروه کربوکسیلیک اسید در پایان هر واکنش اندازه گیری و مشاهده شد که با افزایش دما مقدار تبدیل گروه‌های کربوکسیلیک به دلیل افزایش برخورد مولکول‌ها افزایش یافته است. بهترین دما، برای انجام واکنش، دمای جوش زایلن (۱۳۵°C) است. نتایج در جدول ۳ نشان داده شده است.

برای بررسی اثر مقدار دی‌آمین اولیه، سه آزمایش در شرایط یکسان (دمای ۱۳۵°C و زمان ۱۰ h) اما با نسبت‌های متفاوت از دی‌آمین تکرار شد. در این آزمایش‌ها با افزایش دی‌آمین غلظت گروه‌های کربوکسیلیک کاهش بیشتری می‌یابد، ولی به طور هم‌زمان به مقدار تشکیل ژل نیز می‌افزاید که در بخش بعدی توضیح داده می‌شود. نتایج در جدول ۴ آمده است.

برای بررسی اثر هوا، آزمایش در شرایط یکسان در دو جو هوا و

جدول ۳- اثر دما بر مقدار پیشرفت واکنش.

[COOH] ^(۱) (۱۰ ^{-۴} mol)	دما (°C)
۲/۲	۹۵
۲	۱۱۰
۱/۸	۱۲۰
۱/۷	۱۳۵

(۱) در یک گرم نمونه.

جدول ۶- اثر مقدار دی آمین بر مقدار ژل.

مقدار ژل (%wt)	نسبت استوکیومتری (DAB/MA)
۰	۰
۱۵	۱
۲۳	۲
۱۸	۴
۱۱	۶
۸	۹

متفاوت پیوند مالئیک ایندرید انجام شد. مقدار ژل به دست آمده در هر آزمایش در جدول ۷ آمده است.

مشاهده می شود که مقدار ژل با افزایش درصد مالئیک ایندرید افزایش می یابد. چون با ثابت ماندن دی آمین و افزایش مقدار مالئیک ایندرید احتمال این که یک دی آمین بین دو مالئیک ایندرید مشترک شود، افزایش می یابد. اکسیژن هوا نیز ممکن است، بر مقدار ژل اثر داشته باشد. بر طبق جدول ۸ مقدار ژل در هوا در مقایسه با نیتروژن افزایش یافته است. این افزایش مقدار ژل را می توان به اکسایش زنجیرهای پلی اتیلن در مجاورت اکسیژن هوا یا باز شدن حلقه ایندرید در اثر رطوبت هوانسب داد. درشت رادیکال های حاصل از اکسایش می توانند با هم واکنش دهنده و ژل تشکیل شود.

نتایج آزمایش طیف سنجی FTIR

شکل ۷ طیف مربوط به پلی اتیلن اولیه را نشان می دهد. پیک در ناحیه 1720 cm^{-1} مشخصه پلی اتیلن است. طیف HDPE-g-MA خریداری شده در شکل ۸ نشان داده شده است. پیک در طول موج 1714 cm^{-1} مربوط به گروه کربونیل در کربوکسیلیک اسید و پیک در 1782 cm^{-1} مربوط به گروه کربونیل ایندرید است. از ارتفاع پیک ها مشخص می شود که گروه کربونیل بیشتر به حالت اسیدی وجود دارد، حلقه

جدول ۴- اثر مقدار دی آمین بر میزان پیشرفت واکنش.

[COOH] ^(۱) (10^{-4} mol)	نسبت استوکیومتری (DAB/MA)
۳/۱	۰
۷/۴	۱
۷/۸	۲
۷/۷۵	۴

^(۱) در یک گرم نمونه.

نیتروژن تکرار شد. ملاحظه می شود که مقدار پیشرفت واکنش در نیتروژن بیشتر است. این پدیده می تواند به دلیل آبکافت گروه ایندرید و تبدیل آن به اسید در هوا یا واکنش کربن دیوکسید موجود در هوا با گروه آمینی باشد (جدول ۵).

اثر عوامل مختلف بر مقدار ژل

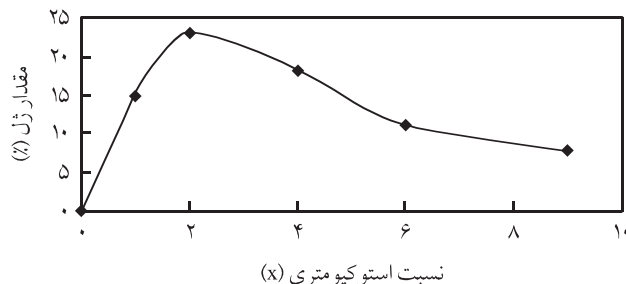
برای بررسی اثر مقدار دی آمین، واکنش با شرایط یکسان (دما 135°C ، زمان 10 h و 4 g HDPE-g-MA) و مقادیر متفاوت دی آمین انجام شد. درصد ژل به دست آمده در هر مرحله در جدول ۶ و شکل ۶ آمده است. مشاهده می شود که با افزایش نسبت دی آمین تا مقدار ۲، مقدار ژل افزایش می یابد. اما، با افزایش بیشتر نسبت استوکیومتری مقدار ژل کاهش می یابد. علت این است که هر چه مقدار دی آمین بیشتر باشد، احتمال واکنش ایندرید با یک مولکول دی آمین مجزا افزایش یافته و از احتمال واکنش دی آمین با دو ایندرید روی زنجیرهای جداگانه کم می شود. بنابراین، اتصالات بین مولکولی کمتر شده و مقدار ژل کاهش می یابد، تا به مناسب ترین مقدار آن یا ۹ برسد. سایر پژوهشگران نیز از این عدد به عنوان مقدار بهینه استفاده کرده اند [۹].

برای بررسی اثر درصد پیوندزنی مالئیک ایندرید، چند واکنش در همان شرایط و نسبت استوکیومتری ۹ و با پلی اتیلن هایی با درصد های

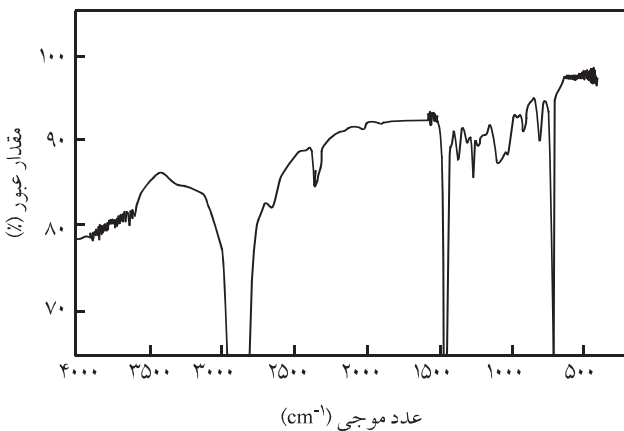
جدول ۵- اثر هوا بر مقدار پیشرفت واکنش.

[COOH] ^(۱) (10^{-4} mol) در نیتروژن	[COOH] ^(۱) (10^{-4} mol) در هوا	زمان واکنش (h)
۳/۱	۳/۱	۰
۷/۳	۳	۳
۷/۹	۷/۴	۶
۷/۷۵	۲/۱	۸

^(۱) در یک گرم نمونه.



شکل ۶- اثر مقدار دی آمین بر میزان ژل.

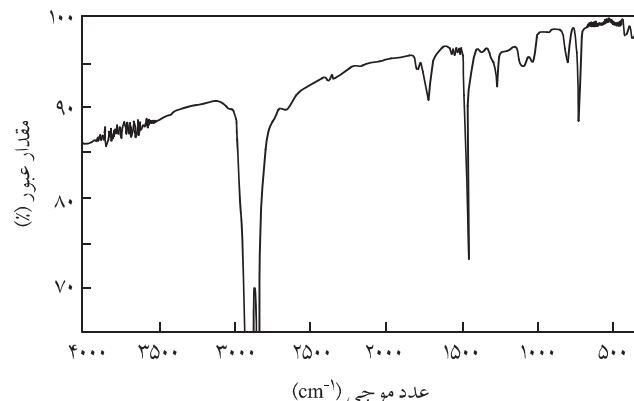


شكل ۷- طيف FTIR برای پلی اتيلن اولیه.

حاصل از این نمودارها در جدول ۹ آمده است. ملاحظه می شود که گروه های اندیردید و ایمید پایداری گرمایی را افزایش می دهند. از عوامل مهم پایدار کننده می توان به موارد زیر اشاره کرد: وجود برهم کنش های قوی بین زنجیرها در اثر وجود گروه های قطبی اندیردید و ایمید در روی زنجیر نسبت به مولکول غیرقطبی اولیه، شبکه ای شدن که حین واکنش پیوندزنی روی می دهد (نمونه PE-g-MA ۷۱ درای درصد ژل و نمونه PE-g-imide ۸ درصد ژل بود)، وجود گروه ایمید در نمونه PE-g-imide که پایداری گرمایی بسیار خوبی دارد و گروه آمینی که به طور آزاد روی زنجیر وجود دارد و می تواند به شکل ریابینده رادیکال (ROO, R) عمل کند.

نتایج آزمایش DSC

نمونه های این آزمایش مثل نمونه های آزمایش قبل است. در مرحله اول (مرحله تبلور) نمونه ها تا دمای 150°C گرم شدند و پس از ۵ min از



شكل ۸- طيف FTIR برای HDPE-g-MA قبل از گرمادهی.

جدول ۷- اثر مقدار مالئیک اندیردید پیوند خورده بر مقدار ژل.

درصد پیوند مالئیک اندیردید	مقدار ژل (wt %)
۰/۵	۴/۴
۱	۵/۵
۷/۳	۶/۹
۱/۵	۸

اندیردید در برابر رطوبت هوا ناپایدار است و باز می شود. چون سرعت واکنش آمیدی شدن اسید کمتر از اندیردید است، لازم است که این ماده قبل از واکنش 1 h در گرم خانه خلاء با دمای 180°C خشک و سپس 15 h در زایلن جوشان گرما داده شود، تا گروه اسیدی به اندیردید تبدیل شود. در طیف مربوط به این ماده پس از گرمادهی (شکل ۹) دیده می شود که تقریباً تمام گروه های اسیدی به اندیردید تبدیل شده اند (پیک مشخصه اندیردید در طول موج های 1782 و 1863 cm^{-1} ظاهر می شوند). این نمونه آماده واکنش با دی آمین است. شکل ۱۰ طیف محصول واکنش با دی آمین را در نسبت ۹ برابر و زمان 10 h در زایلن جوشان نشان می دهد. پیک پیوندهای آمیدی در نواحی 1565 و 1645 cm^{-1} و پیک گروه اسیدی در ناحیه 1714 cm^{-1} دیده می شود.

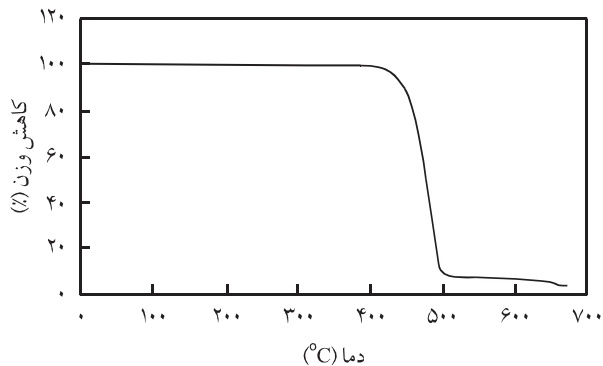
شکل ۱۱ طیف ماده به دست آمده پس از گرمادهی محصول مرحله قبل را نشان می دهد، پیک مربوط به تشکیل گروه ایمیدی در نواحی 1702 و 1776 cm^{-1} دیده می شود.

نتایج آزمایش TGA

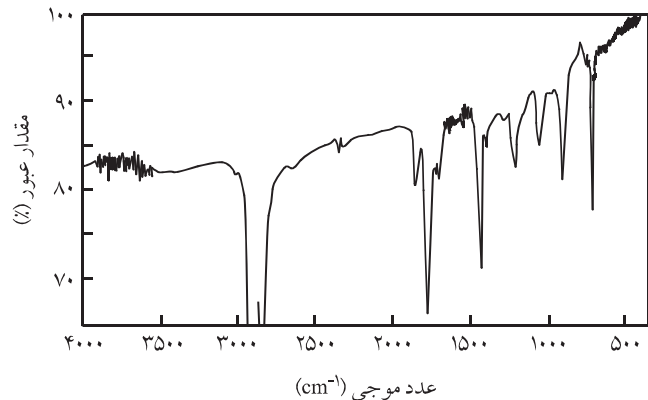
نتایج برای HDPE قبل از واکنش، HDPE-g-MA و پلی اتيلن پیوند خورده با ایمید به ترتیب در شکل های ۱۲ تا ۱۴ آمده است. بدین وسیله می توان اثر اندیردید و ایمید را روی پایداری گرمایی زنجیر پلی اتيلن سنجیگن بررسی کرد. آزمایش شکل ۱۲ زیر جو آرگون انجام شد، برای شکل ۱۳ درجه پیوندزنی پلی اتيلن $7/5$ درصد است و شکل ۱۴ برای ایمید حاصل از واکنش با نسبت استوکیومتری 9 به دست آمده است. نتایج

جدول ۸- اثر هوابر مقدار ژل.

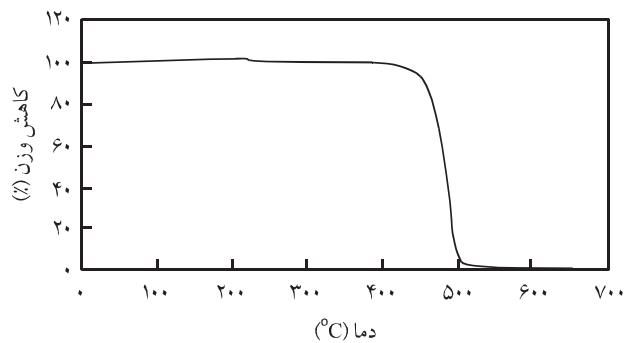
نسبت استوکیومتری (DAB/MA)	درصد وزنی ژل در هوا	درصد وزنی ژل در نیتروژن	درصد وزنی ژل در
۲	۲۵/۵	۲۳	
۶	۱۳/۸	۱۱	
۹	۱۱	۸	



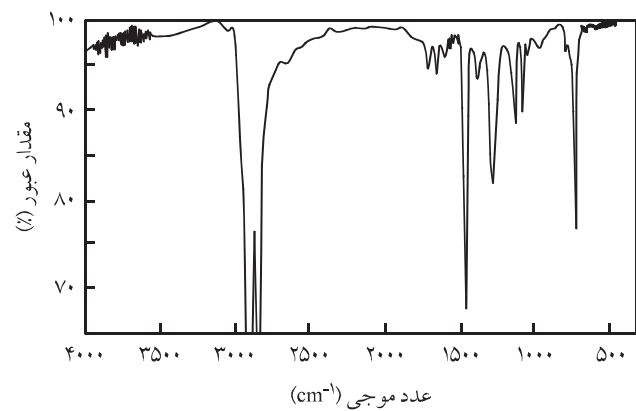
شکل ۱۲- نمودار TGA برای HDPE قبل از واکنش.



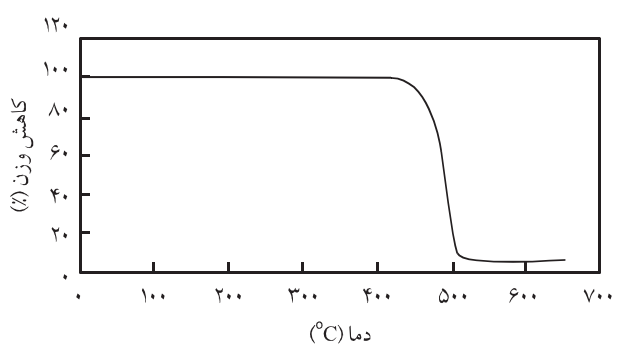
شکل ۹- طیف FTIR برای HDPE-g-MA پس از گرمادهی.



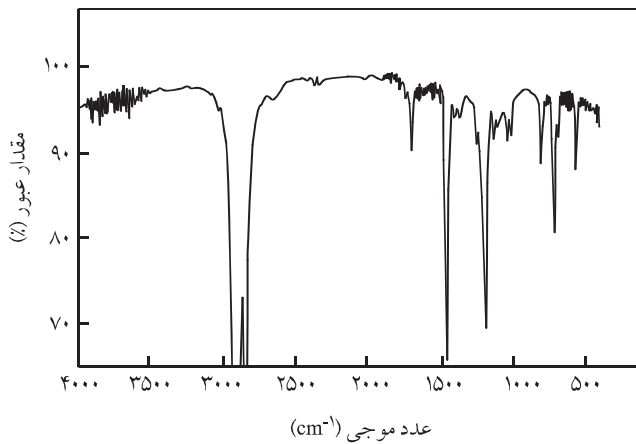
شکل ۱۳- نمودار TGA برای HDPE-g-MA.



شکل ۱۰- طیف FTIR برای پلی اتیلن دارای گروه‌های آمید - اسید.



شکل ۱۴- نمودار TGA برای HDPE-g-imide.



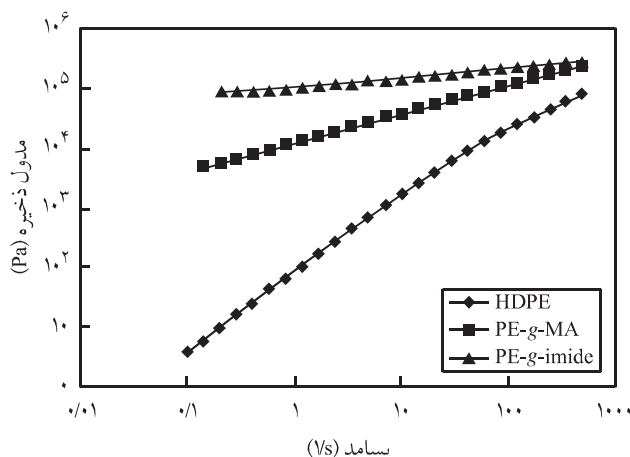
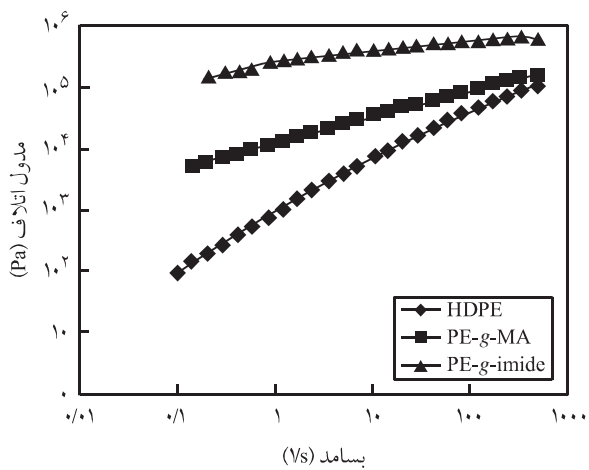
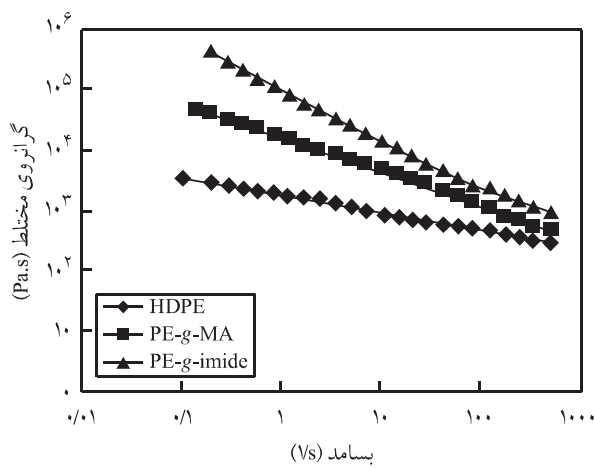
شکل ۱۱- طیف FTIR برای HDPE-g-imide.

دماهای شروع تبلور در نمونه‌های پیوند خورده با اندیزید و ایمید افزایش یافته است. چون برهم‌کش‌های قوی بین گروه‌های جانبی اندیزید و ایمید روی زنجیر اصلی، موجب هسته‌گذاری می‌شود، به نظر می‌رسد که این روند با افزایش مقدار پیوندزنی افزایش می‌یابد.

درجه تبلور (DC) مطابق معادله (۴) معین شد:

$$DC(\%) = \frac{\Delta H_f}{\Delta H_f^\circ} \times 100 \quad (4)$$

در این دماهای محیط سرد شدند. نتایج در جدول ۱۰ آمده است. در مرحله دوم (مرحله ذوب) نمونه‌ها از دماهای محیط تا دماهای 350°C گرم شدند. آنتالپی ذوب، درجه تبلور و دماهای ذوب به دست آمده در

شکل ۱۵- منحنی مدول ذخیره بر حسب بسامد در 230°C .شکل ۱۶- منحنی مدول اتلاف بر حسب بسامد در 230°C .شکل ۱۷- منحنی گرانروی مختلط بر حسب بسامد در 230°C .

جدول ۹- دماهای شروع و پایان تخریب برای نمونه‌ها.

نوع پلیمر	دماهای پایان ($^{\circ}\text{C}$)	دماهای شروع ($^{\circ}\text{C}$)
HDPE	۵۰۸	۴۲۰
PE-g-MA	۵۱۳	۴۲۴
PE-g-imide	۵۲۰	۴۲۹

آنالپی ذوب نمونه که در جدول ۱۰ نشان داده شده است و ΔH_f° آنالپی ذوب پلی اتیلن بلوری که برابر 70 cal/g است.

مشاهده می شود که درجه تبلور پلی اتیلن پیوند خورده با اندیرید و پلی اتیلن پیوند خورده با ایمید نسبت به پلی اتیلن اولیه کاهش یافته است. برهمکنش های قطبی و همچنین اتصال زنجیرها در اثر شبکه ای شدن، موجب کاهش تحرک زنجیرها می شوند. این دو گروه باعث ایجاد فاصله بین زنجیرها نیز می شوند. کاهش تحرک و افزایش فاصله موجب کاهش درجه تبلور و در نتیجه کاهش آنالپی تبلور و آنالپی ذوب نسبت به پلی اتیلن اولیه می شود. کاهش دمای ذوب در اثر کوچک شدن گوییچه ها به علت اتصال زنجیرها به یک دیگر است که به عنوان نقص، ساختار بلوری را مغشوشه می کند.

نتایج آزمایش رئومتری

تغییرات مدول های ذخیره و اتلاف و گرانروی مختلط در 230°C بر حسب بسامد برای سه نمونه پلی اتیلن، پلی اتیلن پیوند خورده با اندیرید و ایمید اندازه گیری شد. در شکل های ۱۵ و ۱۶ مدول های ذخیره و اتلاف نمونه ها نشان داده شده است. این دو مدول برای نمونه های پیوند خورده بیشتر است. کاهش تحرک زنجیرها به دلیل شبکه ای شدن و شاخه ای شدن در اثر پیوندزنی و همچنین وجود گروه های قطبی باعث افزایش مدول شده است. افزایش وزن مولکولی در اثر پیوندزنی نیز موجب افزایش مدول می شود. در شکل ۱۷ تغییرات گرانروی

جدول ۱۰- نتایج آزمون DSC نمونه ها.

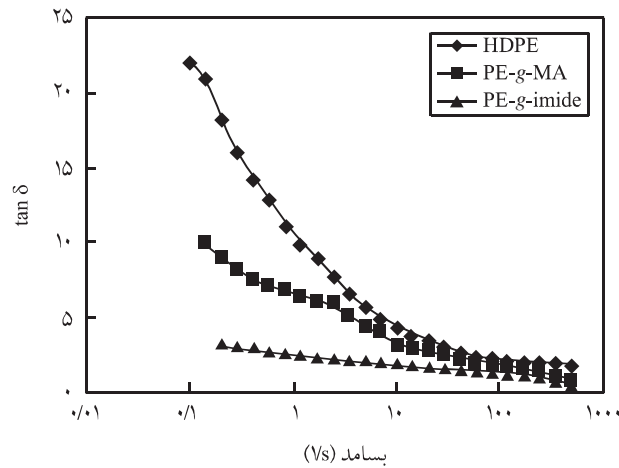
نمونه مورد آزمایش	دماهای شروع تبلور ($^{\circ}\text{C}$)	آنالپی تبلور (cal/g)	آنالپی ذوب (cal/g)	DC (%)	دماهای ذوب ($^{\circ}\text{C}$)
HDPE	۱۲۰/۰۱	۱۲۱/۵۳	۱۲۲/۵۲	-	
	-۲۷/۸۰	-۱۸۷۰	-۱۵/۶۶	-	
PE-g-MA	۲۶/۴۱	۱۷۴۸	۱۴/۴۹	-	
	۳۸	۲۶	۲۱	-	
PE-g-imide	۱۳۱/۷۲	۱۳۰	۱۲۸/۹۸	-	

نتیجه گیری

در این پژوهش، ابتدا پلی اتیلن پیوند خورده با مالئیک اینیدرید ساخته شد. سپس، این ماده با دی‌آمین واکنش داده شد و در نهایت با گرمادهی و در مجاورت کاتالیزور اسیدی حلقه ایمیدی تشکیل شد. با بررسی اثر عوامل مختلف روی پیشرفت واکنش در شرایط دمای جوش زایلن، زمان 10 h و نسبت 9 برابر دی‌آمین به عنوان شرایط مناسب برای واکنش به دست آمد. به کمک طیف‌سنگی تبدیل فوریه زیرقرمز پیشرفت مراحل مختلف واکنش یعنی تشکیل گروه‌های اینیدرید، گروه‌های ایمید - اسید و حلقه ایمیدی روی زنجیر پلی اتیلن تأیید شد. نتایج آزمایش‌های DSC و TGA روی پلی اتیلن سنتگین اولیه، پلی اتیلن پیوند خورده با مالئیک اینیدرید و پلی اتیلن پیوند خورده با ایمید نشان داد که نمونه‌های پیوند خورده پایداری گرمایی بیشتر و خواص بهتری دارند. نتایج آزمایش‌های رئوتومتری نشان داد که این مواد مدول، گرانزوی و کشسانی بیشتری نیز دارند.

قدرتانی

بدین وسیله مولفان از قطب علمی مهندسی شیمی دانشگاه تربیت مدرس تشکر و قدردانی می‌کنند.



شکل ۱۸- منحنی $\tan \delta$ بر حسب بسامد در 230°C .

مختلط نمونه‌ها نشان داده شده است. افزایش گرانزوی در نمونه‌های پیوندی نیز دلایل مشابه افزایش مدول دارد.

در شکل ۱۸ تغییرات $\tan \delta$ (نسبت G''/G') بر حسب بسامد نمونه‌ها نشان داده شده است. کشسانی در نمونه‌های پیوندی نسبت به پلی اتیلن اولیه افزایش یافته است (یعنی کاهش $\tan \delta$)، برای یک مذاب پلیمری زمان آسایش تابعی از اندازه درشت مولکول (یعنی وزن مولکولی و وجود شاخه‌های جانبی) است. در نتیجه در نمونه‌های پیوندی به دلیل وجود شاخه‌های جانبی، زمان آسایش افزایش و در نتیجه اتلاف کاهش می‌یابد [۱۰].

مراجع

- Clark D.C., Baker W.E. and Whitney R.A., Peroxide Initiated Comonomer Grafting of Styrene and Maleic Anhydride onto Polyethylene: Effect of Polyethylene Microstructure, *J. Appl. Polym. Sci.*, **79**, 96-107, 2001.
- Zhu Y., Zhang R. and Jiang W., Grafting of Maleic Anhydride onto Linear Polyethylene: A Monte Carlo Study, *J. Polym. Sci., Part A: Polym. Chem.*, **42**, 5714-5724, 2004.
- De Gooijer J.M., Scheltus M. and Koning C.E., Amine Modified Polyethylenes, Prepared in Near Critical Propane, as Adhesion Promoting Agents in Multilayered HDPE/PET Films, *Polym. Eng. Sci.*, **41**, 86-94, 2001.
- Colbeaux A., Fenouillot F., Gerard J-F., Taha M. and Wautier H., Diamine Coupling of Maleic-Anhydride-Modified Polyethylene, *Polym. Int.*, **54**, 692-697, 2005.
- Song Z. and Baker W.E., Chemical Reactions and Reactivity of Primary, Secondary and Tertiary Diamines with Acid Function-alized Polymers, *J. Polym. Sci., Part A: Polym. Chem.*, **30**, 1589-1600, 1992.
- Liu H.Y., Cao K., Huang Y., Yao Z., Li B-G. and Hu G.H., Kinetics and Simulation of the Imidization of Poly(styrene-co-maleic anhydride) with Amines, *J. Appl. Polym. Sci.*, **100**, 2744-2749, 2006.
- Tessier M. and Marechal E., Study of Amine-Anhydride and Amide-Anhydride Reactions on Low Molecular Weight and on Oligomers and Polymers, *J. Polym. Sci., Part A: Polym. Chem.*, **26**, 2785-2810, 1988.
- Doi T., Copolymer Production Process, *US Pat. 5,548,031*, 1996.
- De Gooijer J.M., Haan A., Scheltus M., Vondervoort L.S.V.D. and Koning C., Modification of Maleic Anhydride Grafted Polyethylene with 1,4-diaminobutane in Near Critical Propane, *Polymer*, **40**, 6493-6498, 1999.
- Semsarzadeh M.A. and Barikani S.M., Sol-Gel Transition and Equilibrium Shear Modulus of Poly(vinyl chloride) and Plasticizer, *Macromol. Symp.*, **239**, 245-250, 2006.